

**SIMULASI**  
**POLA TINGKAH LAKU TEGANGAN SISTEM TENAGA LISTRIK DI**  
**TITIK OPERASI MEMPERGUNAKAN METODA OPTIMISASI**  
 **$H_{\infty}$  DENGAN PENDEKATAN MIXED SENSITIVITY**  
**(MODEL IEEE 14 BUS 5 MESIN)**

Heru Dibyo Laksono<sup>1)</sup>, Fitriolina<sup>2)</sup>

<sup>1,2)</sup>Jurusan Teknik Elektro - Universitas Andalas, Padang, Sumatera Barat

Email : [heru\\_dl@ft.unand.ac.id](mailto:heru_dl@ft.unand.ac.id)

*Abstrak*

*Dalam sistem tenaga listrik, model sistem bersifat nonlinier. Untuk menganalisa pola tingkah laku tegangan sistem tenaga listrik disekitar titik operasi, salah satu model sistem adalah dengan dilinierisasi dititik operasi. Dari model sistem yang dilinierisasi tersebut diperoleh persamaan keadaan untuk sistem tenaga listrik IEEE 14 Bus 5 Mesin dan dapat digunakan metoda  $H_{\infty}$  dengan pendekatan mixed sensitivity, serta diupayakan suatu simulasi dengan variasi fungsi bobot dan beban. Dari hasil simulasi didapatkan daerah stabil untuk bahan design kontroller  $H_{\infty}$  yang mengendalikan perubahan tegangan generator dalam sistem tenaga listrik IEEE 14 Bus 5 Mesin.*

*Keyword : sistem tenaga listrik, IEEE 14 Bus 5 Mesin, metoda  $H_{\infty}$*

## 1. PENDAHULUAN

Operasi sistem tenaga listrik interkoneksi, kestabilan tegangan merupakan hal yang penting, dan merupakan salah satu ukuran dari kualitas sistem tenaga listrik. Dengan adanya perubahan beban setiap waktu akan berakibat terjadinya perubahan tegangan, sehingga kestabilan sistem akan terganggu dan berakibat sistem tidak mampu lagi bekerja secara normal setelah mengalami gangguan. Untuk menjaga supaya tegangan tetap bekerja pada daerah titik operasinya, dilakukan pengendalian, baik pengendalian kecepatan turbin maupun pengendalian sistem eksitasi.

Dalam sistem tenaga listrik, gangguan ada yang bersifat peralihan (putusnya salah satu jaringan atau terjadinya hubung singkat) dan gangguan yang bersifat kecil, sehingga perlu studi kestabilan dinamik disekitar titik operasinya dan mencoba menganalisa tingkah laku kestabilan sistem tenaga listrik untuk model IEEE 14 Bus 5 Mesin menggunakan pendekatan metoda  $H_{\infty}$ . Hasil studi dapat menjadi bahan-bahan design kontroller untuk sistem tenaga listrik. Terdapat banyak metoda yang dapat digunakan untuk merancang kontroller diantaranya metoda Linear Quadratic Regulator (LQR), metoda Linear Quadractic Gaussian (LQG), metoda Linear Quadractic Gaussian/Loop Transfer Recovery (LQG/LTR), metoda  $H_2$  dan metoda  $H_{\infty}$ .

Dalam penelitian ini akan dibahas simulasi yang berkaitan dengan perancangan tahap mula sistem kendali linier untuk mengendalikan sistem tenaga listrik menggunakan metoda  $H_{\infty}$  dengan pendekatan mixed sensitivity. Syarat menggunakan metoda diatas adalah model sistem tenaga listrik IEEE 14 Bus 5 Mesin harus bersifat linier. Untuk mendapatkan model linier tersebut, model sistem dilinierisasi di titik operasi tertentu.

Penelitian ini bertujuan melakukan simulasi untuk memperoleh bahan informasi mendisain kontroller  $H_{\infty}$  yang mengendalikan sistem tenaga listrik menggunakan metoda  $H_{\infty}$  dengan pendekatan mixed-sensitivity pada model IEEE 14 Bus 5 Mesin

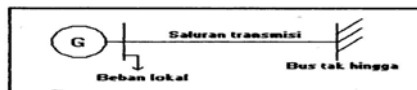
Hasil penelitian ini dapat dijadikan bahan informasi disain kontroller  $H_{\infty}$  yang mengendalikan sistem tenaga listrik menggunakan metoda  $H_{\infty}$  dengan pendekatan mixed-sensitivity pada model IEEE 14 Bus 5 Mesin

Dalam penelitian ini dilakukan pembatasan sebagai berikut .

1. Model mesin yang akan digunakan bersifat tipikal dan setiap mesin mempunyai pemodelan yang sama.
2. Jaringan dimodelkan dengan mengabaikan jaringan dinamik dan sistem interkoneksi dimodelkan sebagai jaringan pasif dan bersifat linier.
3. Fungsi bobot dan beban ditentukan secara coba-coba

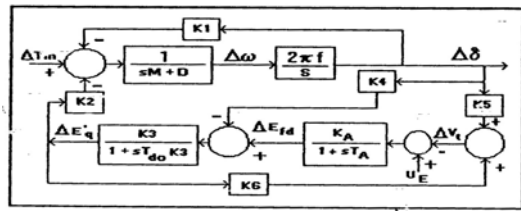


Model satu mesin sinkron terhubung bus tak hingga telah dikembangkan oleh De Mello dan Corcodia.



**Gambar-2.3** Satu Mesin Sinkron Terhubung Bus Tak Hingga

Serta diagram bloknya dapat dilihat pada Gambar 2.4



**Gambar-2.4** Blok Diagram Dinamika Satu Mesin Sinkron Terhubung Bus Tak Hingga

#### 2.4 Pemodelan Dinamik Sistem Tenaga Listrik Multi Mesin

Sistem tenaga listrik multi mesin, perubahan satu mesin akan mempengaruhi mesin yang lain. Hal ini terjadi karena antara mesin yang satu dengan mesin yang lain terhubung secara listrik melalui suatu jaringan.

Untuk memodelkan sistem tenaga listrik multi mesin, pertama kali persamaan arus, daya listrik dan tegangan pada terminal bus perlu diturunkan. Untuk mempelajari interaksi dinamika suatu sistem tenaga listrik multi mesin, dapat dipelajari dari adanya interaksi antara mesin-mesin sinkron dalam sistem tersebut.

#### 2.5 Persamaan Torsi Mesin i

Persamaan torsi mesin i dalam bentuk linier dapat dituliskan sebagai berikut :

$$\Delta T_{mi} - \Delta T_{ei} = M_i \frac{\partial \Delta \omega_i}{\partial t} + D_i \Delta \omega_i \quad (2.9)$$

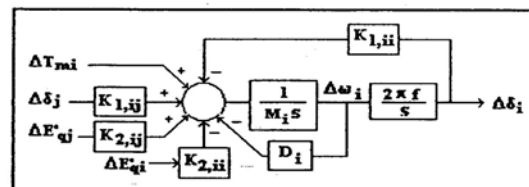
dirubah menjadi

$$\frac{\partial}{\partial t} \Delta \omega_i = \frac{1}{M_i} (\Delta T_{mi} - \Delta T_{ei} - D_i \Delta \omega_i) \quad (2.10)$$

Didapat persamaan sebagai berikut

$$\begin{aligned} \frac{\partial}{\partial t} \Delta \omega_i &= \frac{1}{M_i} \Delta T_{mi} - \frac{1}{M_i} \left( K_{1,ii} \Delta \delta_i - \sum_{j \neq i} K_{1,ij} \Delta \delta_j \right. \\ &\quad \left. + K_{2,ii} \Delta E'_qi - \sum_{j \neq i} K_{2,ij} \Delta E'_qj \right) - \frac{D_i}{M_i} \Delta \omega_i \end{aligned} \quad (2.11)$$

pada diagram blok dapat dilihat pada Gambar-2.5 berikut ini :



**Gambar-2.5** Blok Diagram Mekanik Mesin-i Dalam Sistem Multi Mesin

#### 2.6 Persamaan Medan Mesin i

Persamaan medan mesin i dalam bentuk linier dapat dituliskan sebagai berikut :

$$T'_{doi} \Delta \dot{E}_{qi} = \Delta E'_{fdi} - \Delta E'_qi - (x_{di} - x'_i) \Delta i_{di} \quad (2.18)$$

$$\begin{aligned} T'_{doi} \Delta \dot{E}_{qi} &= \Delta E'_{fdi} - C_{3,ii} \Delta E'_qi + \sum_{j \neq i} C_{3,ij} \Delta E'_qj + K_{4,ii} \Delta \delta_i \\ &\quad - \sum_{j \neq i} K_{4,ij} \Delta \delta_j \end{aligned} \quad (2.12)$$

Dengan :

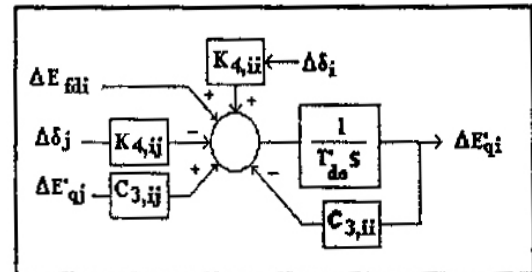
$$C_{3,ii} = 1 - (x_{di} - x'_i) B_{ii} \quad (2.13)$$

$$C_{3,ij} = 1 - (x_{di} - x'_i) Y_{ij} S_{ij} \quad (2.14)$$

$$K_{4,ii} = \sum_{j \neq i} K_{4,ij} \quad (2.15)$$

$$K_{4,ij} = (x_{di} - x'_i) E'_{qi} Y_{ij} C_{ij} \quad (2.16)$$

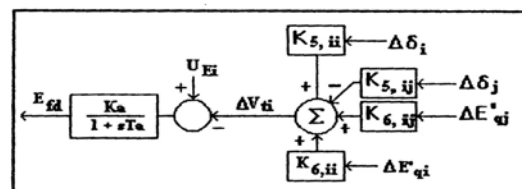
Blok diagram dinamik mesin i elemen persamaan medan dapat dilihat pada Gambar-2.6



**Gambar-2.6** Blok diagram interaksi mesin i elemen persamaan medan

#### 2.7 Persamaan Pengatur Tegangan

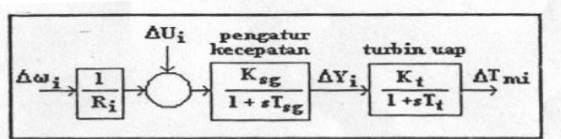
Diagram bloknya dapat dilihat dalam Gambar-2.7 :



**Gambar-2.7** Blok Sistem pengaturan tegangan

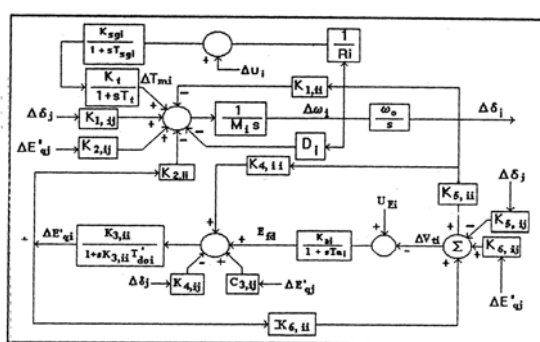
### 2.8 Pengaturan Kecepatan Turbin Uap

Model turbin dan sistem pengaturan yang digunakan mengacu model IEEE. Diagram blok Turbin Uap dan pengurnya



Gambar-2.8 Blok Turbin Uap dan Pengurnya

Dari blok-blok diagram yang terbentuk diatas, diagram blok generator i dalam sistem tenaga listrik multi mesin secara keseluruhan dapat dilihat dalam Gambar-2.9



Gambar -2.9 Blok diagram lengkap interaksi dinamik mesin i dengan adanya pengaruh mesin j

### 2.9 Pembentukan Persamaan Keadaan Sistem

Sistem jaringan yang akan dibahas dalam penelitian ini adalah sistem tenaga listrik empatbelas bus dan lima unit pembangkit. Dari persamaan-persamaan diatas dapat dibentuk persamaan keadaan sistem tenaga listrik multi mesin :

$$\dot{x}(t) = Ax(t) + Bu(t) \quad (2.17)$$

$$y(t) = Cx(t) + Du(t) \quad (2.18)$$

Dengan variabel keadaanya adalah perubahan sudut rotor ( $\Delta\delta$ ), perubahan kecepatan sudut ( $\Delta\omega$ ), perubahan tegangan generator ( $\Delta E'_q$ ), perubahan tegangan medan ( $\Delta E'_f$ ), perubahan torsi mekanik ( $\Delta T_m$ ) dan perubahan level katup ( $\Delta Y$ ) sehingga terbentuk matrik keadaan ( Matrik A) terdiri dari submatrik  $A_{ii}$  dan  $A_{ij}$  :

$$A_{ii} = \begin{bmatrix} 0 & \omega_0 & 0 & 0 & 0 & 0 \\ -K_{1,ii} & -D_i & -K_{2,ii} & 0 & \frac{1}{M_i} & 0 \\ \frac{M_i}{M_i} & \frac{-D_i}{M_i} & \frac{-K_{3,ii}}{M_i} & \frac{1}{T_{doi}} & 0 & 0 \\ \frac{K_{4,ii}}{T_{doi}} & 0 & \frac{-K_{5,ii}}{T_{doi}} & 0 & 0 & 0 \\ \frac{T_{doi}}{T_{doi}} & \frac{-K_{6,ii}}{T_{doi}} & \frac{-1}{T_{Ai}} & 0 & 0 & 0 \\ \frac{K_{Ai}K_{5,ii}}{T_{Ai}} & 0 & \frac{-K_{Ai}K_{6,ii}}{T_{Ai}} & \frac{-1}{T_{Ai}} & 0 & 0 \\ 0 & 0 & 0 & 0 & -\frac{1}{T_{ti}} & \frac{1}{T_{ti}} \\ 0 & \frac{-K_{sgi}}{T_{sg}R_i} & 0 & 0 & 0 & \frac{-1}{T_{sgi}} \end{bmatrix} \quad (2.19)$$

$$A_{ij} = \begin{bmatrix} 0 & 0 & 0 & 0 \\ \frac{\sum K_{1,ij}}{M_i} & 0 & \frac{\sum K_{2,ij}}{M_i} & 0 \\ \frac{\sum K_{4,ij}}{T_{doi}} & 0 & -\frac{\sum K_{3,ij}}{T_{doi}} & 0 \\ \frac{\sum K_{Ai}K_{5,ij}}{T_{Ai}} & 0 & -\frac{\sum K_{Ai}K_{6,ij}}{T_{Ai}} & 0 \end{bmatrix} \quad (2.20)$$

Untuk matriks masukan B sebagai berikut

$$B = \begin{bmatrix} 0 & 0 \\ 0 & 0 \\ 0 & 0 \\ \frac{K_{Ai}}{T_{Ai}} & 0 \\ 0 & 0 \\ 0 & \frac{1}{T_{Ai}} \end{bmatrix} \quad (2.21)$$

### 3. METODA OPTIMISASI $H_\infty$

Dalam perkembangan teknik kendali, salah satu yang cukup mendapat perhatian adalah masalah ketidakpastian (*uncertainty*) dalam sistem dinamik. Munculnya ketidakpastian dapat menimbulkan perubahan terhadap sistem dinamik sehingga kondisi sistem tersebut akan berbeda dengan kondisi saat dimodelkan. Masalah lainnya adalah kekokohan (*robustness*) sistem kendali dalam mengantisipasi gangguan. Masalah diatas sangat mempengaruhi keandalan sistem kendali dalam proses pengendalirnya.

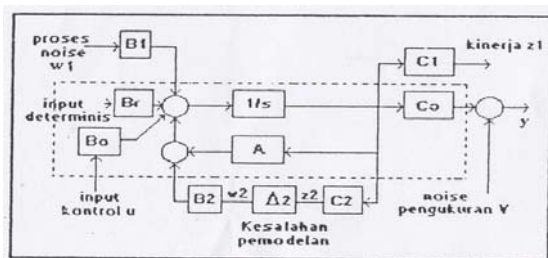
Teori kendali kokoh merupakan sistem kendali yang memasukkan unsur ketidakpastian dalam tahapan perancangan kontroler dan menggunakan karakteristik kekokohan sebagai parameter spesifikasi. Dengan demikian strategi kendali yang diperoleh diharapkan dapat mengantisipasi ketidakpastian dan gangguan yang muncul selama proses pengendalian dalam batas toleransi yang ditentukan.

### 3.1 Pemodelan Kendali Kokoh Dengan Metoda Optimisasi $H_\infty$

Telah disadari bahwa tidak mungkin mendapatkan sifat kokoh dan kinerja yang sama-sama ideal kalau secara fisis tidak mungkin, dengan metoda optimisasi  $H_\infty$  dengan mudah melakukan tawar menawar (trade off) diantara keduanya. Metoda optimisasi  $H_\infty$  mengizinkan perancang untuk mengkombinasikan pencapaian level tertentu dari sensitivitas (kinerja) dengan level tertentu dari sifat kokoh.

### 3.2 Formulasi Matematis Dalam Ruang $H_\infty$

Perhatikan model sistem lingkar terbuka dalam Gambar-3.1 dengan  $A$ ,  $B_1$ ,  $B_2$ ,  $B_r$ ,  $C_0$  dan  $C_1$  merupakan matrik-matrik dengan dimensi yang tepat. Sistem merupakan subyek dari ketidakpastian



Gambar-3.1 Model Sistem Lingkar Terbuka

Dalam Gambar-3.1, sistem dapat mengandung ketidakpastian sebagai berikut :

1. Kesalahan pemodelan. Matriks nominal  $A$  dapat bervariasi pada  $A + B_2 \Delta_2 C_2$ .  $\Delta_2$  akan merepresentasikan ukuran variasi parameter dari  $A$ . Sedangkan  $B_2$  dan  $C_2$  akan merepresentasikan struktur dari gangguan.
2. Gangguan proses.
3. Masukan deterministik. Masukkan ini dapat dipandang sebagai sinyal komando atau sinyal pelengkap
4. Kesalahan pengukuran

Ketidakpastian-ketidakpastian diatas dapat dipandang sebagai :

1. Langkah untuk memperhitungkan kekurangan informasi dinamika tetap sistem (kesalahan pemodelan)
2. Upaya menerapkan informasi bahwa dinamika sistem berubah saat kondisi operasi yang berbeda Berdasarkan tingkah laku sistem, ketidakpastian dapat dibedakan atas ketidakpastian terstruktur dan ketidakpastian tidak terstruktur .

### 3.3 Ketidakpastian Tidak Terstruktur

Ketidakpastian disebut tidak terstruktur apabila informasi yang dimiliki hanya besaran (*magnituda*) dari ketidakpastian tanpa mengetahui secara jelas

sumber ketidakpastian itu. Umumnya merepresentasikan elemen yang bergantung frekuensi seperti saturasi aktuator, mode struktur yang tidak termodelkan di daerah frekuensi tinggi atau gangguan obyek kendali di daerah frekuensi rendah.

Karakteristik ketidakpastian jenis ini diberikan oleh dua besaran. Pertama, besaran yang merepresentasikan ukuran ketidakpastian itu dalam  $\|\Delta\|_\infty$ , yang kedua besaran optional yang menggambarkan sifat ketergantungannya terhadap frekuensi yaitu matrik bobot  $W$ , berupa fungsi alih fasa minimum.

### 3.4 Ketidakpastian Terstruktur

Rancangan kompensator untuk model dengan ketidakpastian tak terstruktur lebih bersifat konservatif, karena kinerja sistem umpan balik dipersiapkan untuk mengatasi variasi maksimum dari usikan gangguan. Dengan mengidentifikasi sumber ketidakpastian sistem secara akurat, berarti menyatakan ketidakpastian terstruktur. Kemudian seluruh informasi dihimpun dalam satu blok matriks gangguan  $\Delta$

$$\Delta(s) = \text{diag}\{\Delta_1(s), \dots, \Delta_m(s)\} \quad (3.1)$$

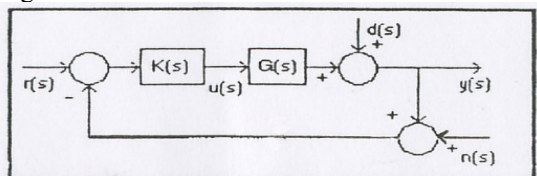
dengan  $\Delta_i(s)$  adalah gangguan dengan struktur yang spesifik, skalar atau matrik dan memiliki nilai singular maksimum ternormalisasi oleh fungsi bobot sehingga menjadi  $\bar{\sigma}(\Delta_i(j\omega)) \leq 1, \forall \omega$

### 3.5 Metoda Optimisasi $H_\infty$

Metoda kendali  $H_\infty$  adalah metoda perancangan kendali yang berbasis optimasi dan metoda ini menjamin sifat kokoh dari sistem. Telah disadari bahwa tidak mungkin mendapatkan sifat kokoh dan kinerja yang sama-sama ideal jika secara fisis tidak mungkin dan metoda ini dengan mudah melakukan tawar menawar diantara keduanya. Metoda perancangan  $H_\infty$  mengizinkan perancang untuk mengkombinasikan pencapaian level tertentu dari sensitivitas (kinerja) dengan level tertentu dari sifat kokoh.

Sensitivitas  $S(s)$  dan Sensivitas komplementer  $T(s)$  merupakan parameter yang menunjukkan kinerja suatu sistem dan memegang peranan penting dalam menentukan karakteristik respon kendali kokoh. Sensitivitas suatu sistem menunjukkan karakteristik respon terhadap peredaman gangguan yang ada di dalam sistem tersebut (*disturbance rejection*) sedangkan sensitivitas komplementer menunjukkan kualitas respon terhadap sinyal kendali (*command response*), sifat peredaman noise (*noise suppression*) sistem dan kualitas stabilitas sistem terhadap ketidakpastian. Jika sistem dinamik

dinyatakan sebagai  $G(s)$  dan sistem kendali dinyatakan sebagai  $K(s)$  maka suatu sistem sistem lingkar tertutup dapat dinyatakan dalam bentuk diagram blok Gambar-3.2



Gambar-3.2 Diagram Blok Standard Sistem Kendali

Dari Gambar-3.2. dapat diturunkan persamaan yang menunjukkan keluaran total sistem lingkar tertutup sebagai berikut :

$$y(s) = \frac{G(s)K(s)}{1+G(s)K(s)}r(s) + \frac{1}{1+G(s)K(s)}d(s) - \frac{G(s)K(s)}{1+G(s)K(s)}n(s) \quad (3.2)$$

jika didefinisikan fungsi sensitivitas  $S(s)$  dan sensitivitas komplementer  $T(s)$  sebagai

$$S(s) = \frac{1}{1+G(s)K(s)} \quad (3.3)$$

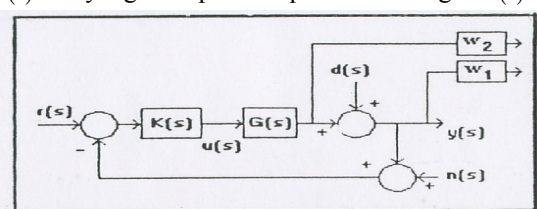
$$T(s) = \frac{G(s)K(s)}{1+G(s)K(s)} \quad (3.4)$$

Hubungan antara  $S(s)$  dan  $T(s)$  adalah terbatas yaitu

$$S(s) + T(s) = 1 \quad (3.5)$$

### 3.6 Pendekatan Mixed-Sensitivity

Dalam perancangan dengan pendekatan mixed-sensitivity, karakteristik sistem dapat ditentukan dengan menentukan batas spesifikasi antara sensitivitas  $S(s)$  dan sensitivitas komplementer  $T(s)$ . Hal ini dapat dilakukan dengan menambah kompensator dalam sistem untuk membentuk (*shaping*) fungsi  $S(s)$  dan  $T(s)$ . Prosedur ini disebut dengan loop shaping. Dalam Gambar-3.3 terlihat bahwa blok  $W_1$  diletakkan di keluaran sistem yang berkaitan dengan masukan gangguan  $d(s)$  dengan  $n(s) = 0$  yang merupakan representasi fungsi  $S(s)$ . Blok  $W_2$  diletakkan di keluaran sistem yang berkaitan dengan masukan  $n(s)$  atau  $r(s)$ , dengan  $d(s) = 0$  yang merupakan representasi fungsi  $T(s)$



Gambar-3.3 Diagram Blok Loop Shaping

Fungsi bobot  $W_1$  dan  $W_2$  digunakan untuk membatasi fungsi  $S(s)$  dan  $T(s)$ .

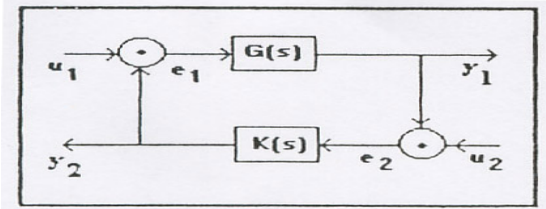
### 3.7 Analisis Kestabilan dan Kekokohan

Dalam metoda kendali kokoh khususnya metoda  $H_\infty$  dikenal empat macam kriteria untuk menjamin kestabilan dan kekokohan yang harus dipenuhi oleh sistem kendali umpan balik yaitu.

- Stabilitas nominal (*nominal stability*)
- Kinerja nominal (*nominal performance*)
- Stabilitas kokoh (*robust stability*)
- Kinerja kokoh (*robust performance*)

#### a. Stabilitas Nominal

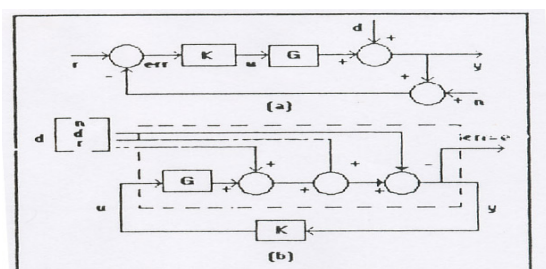
Stabilitas nominal merupakan syarat bagi suatu sistem lingkar tertutup agar dapat digunakan dalam kondisi nyata. Metoda yang menjadi salah satu dasar analisis sistem kendali kokoh yaitu Teorema penguatan kecil (*small gain theorem*).



Gambar-3.4 Sistem Umpan Balik  
Merepresentasikan Teorema Penguatan Kecil

#### b. Kinerja Nominal

Suatu sistem lingkar tertutup dikatakan memiliki kinerja nominal, apabila kriteria kinerja untuk model sistem nominal telah tercapai. Kriteria kinerja secara umum adalah menjaga selisih antara keluaran sistem dan sinyal referensi sekecil mungkin, mengurangi sensitivitas sistem terhadap gangguan (*disturbance rejection*), dan meredam derau frekuensi tinggi (*noise suppression*). Dalam Gambar-3.6. dapat ditunjukkan bagaimana blok diagram umum sistem kendali ditransformasikan ke dalam bentuk standard sintesis kendali kokoh, dan mentransformasikan



Gambar-3.5 Transformasi Sistem (a) Bentuk Standard  
(b) Sintesis Kendali Kokoh

spesifikasi yang telah ditentukan ke dalam formulasi standar agar dapat dilakukan sintesis dengan metoda kendali kokoh. Dalam Gambar-3.5b didefinisikan :

$$\mathbf{d} = [n^T \quad v^T \quad r^T]^T \quad (3.6)$$

$$\mathbf{e} = \mathbf{err}^T \quad (3.7)$$

Dibuat  $M = F_1(P, K)$  kemudian dipartisi menjadi  $M_{11}$ ,  $M_{12}$ ,  $M_{21}$  dan  $M_{22}$  sesuai dengan arah vektor masukan dan keluaran sehingga diperoleh :

$$F_1(P, K) = M_{11} + M_{12}K(I - M_{22}K)^{-1}M_{21} \quad (3.8)$$

sistem memiliki kinerja nominal apabila

$$\|M_{22}\| = \sup_{\omega} \bar{\sigma}(M_{22}(j\omega)) \leq 1 \quad (3.9)$$

### c. Stabilitas Kokoh

Dalam penelitian ini yang menjadi perhatian adalah pengaruh ketidakpastian multiplikatif terhadap kestabilan sistem tenaga listrik. Harga ketidakpastian multiplikatif  $\Delta_m$  yang dapat menyebabkan sistem menjadi tidak stabil disebut batas stabilitas multiplikatif (MSM). Karakteristik sistem terhadap  $\Delta_m$  dapat dievaluasi dengan memperhatikan fungsi  $T(s)$  sebagai fungsi alih yang berhubungan dengan  $\Delta_m$  stabilitas kokoh akan dijamin jika kondisi berikut ini dipenuhi :

$$\begin{aligned} |\Delta_m| |T(s)| &< 1 \\ \sup(\sigma_{\max}(\Delta_m) T(s)) &< 1 \end{aligned} \quad (3.10)$$

dengan

$\sigma_{\max}$  : Nilai singular maksimum

$\sup$  : Supremum atau batas atas terkecil

Untuk menjamin kestabilan sistem terhadap ketidakpastian multiplikatif MSM harus bernilai besar, yang berarti harga fungsi  $T(s)$  harus sekecil mungkin di daerah frekuensi  $\Delta_m$

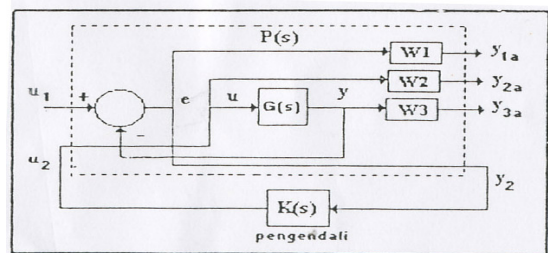
### d. Kinerja Kokoh

Suatu sistem dikatakan memiliki kinerja yang kokoh jika kinerja nominal sistem memenuhi spesifikasi yang telah ditentukan dan sekaligus merupakan syarat yang harus dipenuhi oleh sistem nominal, dalam pendekatan mixed -sensitivity kinerja kokoh dapat dicapai apabila spesifikasi kinerja diminimasi telah tercapai,

$$\min \left\| \frac{W_1(s)S(s)}{W_2(s)T(s)} \right\|_{\infty} = \min \left\| \frac{W_1(s)[I + G_o(s)K(s)]^{-1}}{W_2(s)G_o(s)K(s)[I + G_o(s)K(s)]^{-1}} \right\|_{\infty} \quad (3.11)$$

### 3.8 Pembentukan Objek Kendali Yang Diperluas

Dalam masalah kendali kokoh, objek kendali dimodelkan dalam bentuk diagram blok yang terdiri dari objek kendali nominal dan fungsi pembobotan. Sistem kombinasi ini disebut sebagai objek kendali yang diperluas dan dinyatakan dalam Gambar-3.6



Gambar-3.6 Objek Kendali Yang Diperluas  $P(s)$

Fungsi alih yang menghubungkan masukan  $u_1$  dan keluaran  $y_1$  dinyatakan sebagai

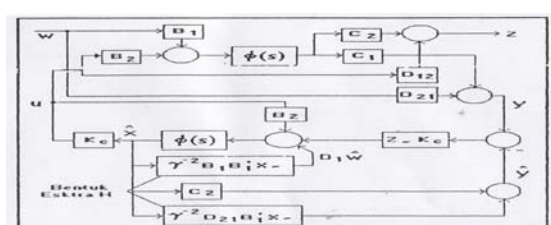
$$T_{y1u1} = P_{11}(s) + P_{12}(s)[1 - K(s)P_{22}(s)]^{-1}K(s)P_{21}(s) \quad (3.12)$$

### 3.9 Hukum Kendali $K(s)$

Perancangan kontroller dengan metoda kendali kokoh dasarnya menyangkut pembentukan gain kontroller dan estimator dengan menggunakan persamaan Riccati dan norm- $\infty$ , sehingga kendali kokoh sering juga disebut kendali  $H_{\infty}$ . Masalah kendali  $H_{\infty}$  adalah untuk mencari kendali penstabil  $K(s)$  sehingga sistem lup tertutup  $G(s)K(s)$  stabil internal dan norm- $\infty$  dari fungsi alih  $T_{y1u1}$  diminimasi dan lebih kecil dari  $\gamma$ , dengan  $\gamma$  adalah suatu nilai tertentu kecil atau sama dengan satu, masalah ini disebut masalah kendali  $H_{\infty}$  standard atau

$$\min_{K(s) \text{ stabilizing}} \|T_{y1u1}\|_{\infty} \leq \gamma \quad (3.13)$$

dan dapat diselesaikan dengan algoritma  $H_{\infty}$  yang telah ada. Adapun diagram blok sistem kendali  $H_{\infty}$ .



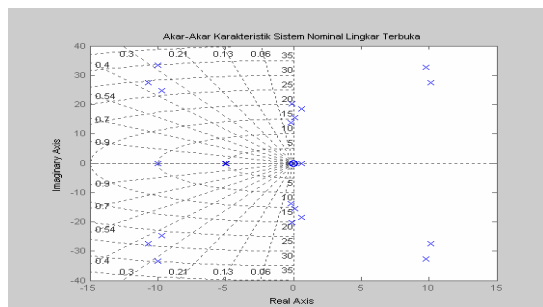
Gambar-3.7 Diagram Blok Sistem Kendali  $H_{\infty}$

#### 4. SIMULASI PERANCANGAN KONTROLLER UNTUK PERUBAHAN FREKUENSI

Kontroller  $H_\infty$  ini dirancang untuk mencapai dua tujuan yaitu kualitas sistem dan kekokohan sistem. Obyektif perancangan ini dapat dicapai sekaligus dengan metoda kendali kokoh, dalam hal ini dengan menggunakan metoda optimisasi  $H_\infty$  dengan pendekatan mixed sensitivity. Untuk melakukan perancangan kontroller menggunakan metoda optimisasi  $H_\infty$  untuk sistem tenaga listrik IEEE 14 bus 5 mesin ini dilakukan pertama-tama adalah mendapatkan kondisi awal perhitungan yaitu perhitungan aliran daya. Selanjutnya menghitung konstanta-konstanta interaksi antar mesin ( $K_{1,ii}$  s/d  $K_{6,ii}$  dan  $K_{1,ij}$  s/d  $K_{6,ij}$ ) untuk semua mesin. Kemudian baru dihitung matriks keadaan yang dipergunakan dalam perancangan kontroller.

##### 4.1 Karakteristik Sistem Lingkar Terbuka Untuk Sistem Tenaga Listrik IEEE 14 Bus 5 Mesin

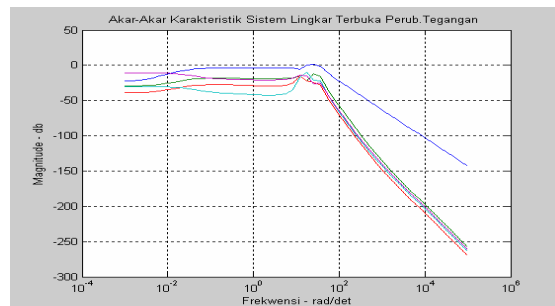
Untuk melihat karakteristik sistem nominal lingkar terbuka pada sistem tenaga listrik IEEE 14 Bus 5 Mesin dapat dilihat dari letak akar-akar karakteristik sistem lingkar terbuka dalam Gambar-4.1 berikut ini



**Gambar-4.1** Letak Akar-Akar Karakteristik Sistem Lingkar Terbuka Untuk Sistem Tenaga Listrik IEEE 14 Bus 5 Mesin

Gambar-4.1 menunjukkan letak akar-akar karakteristik sistem lingkar terbuka, terlihat bahwa sistem lingkar terbuka tersebut masih memiliki akar-akar karakteristik disebelah kanan sumbu khayal sehingga dapat dipastikan sistem lingkar terbuka sistem tenaga listrik tersebut tidak stabil.

Untuk melihat kinerja nominal sistem lingkar terbuka yang akan dikendalikan dilakukan simulasi terhadap objek kendali dalam kondisi operasi nominal. Plot nilai singular sistem lingkar terbuka untuk perubahan frekuensi dapat dilihat Gambar-4.2



**Gambar-4.2** Nilai Singular Sistem Lingkar Terbuka Untuk Perubahan Frekuensi Generator

Dari Gambar-4.2 terlihat plot penguatan matriks fungsi alih sistem lingkar terbuka untuk perubahan tegangan generator. Terlihat bahwa nilai singular maksimum model nominal sistem lingkar terbuka kurang dari satu berarti kriteria kinerja nominal sudah terpenuhi tetapi lebar pita dari model nominal sistem lingkar terbuka untuk perubahan tegangan generator cukup besar dan belum memenuhi spesifikasi yang diinginkan.

##### 4.2 Spesifikasi Perancangan Kontroller

Sistem kendali yang akan dirancang ini memiliki spesifikasi sebagai berikut.

1. Sistem lingkar tertutup memiliki lebar pita  $< 25$  rad/det
2. Lewatan maksimum  $< 20\%$
3. Waktu keadaan mantap 4-8 detik

Untuk mencapai spesifikasi diatas ditentukan fungsi bobot  $W_1(s)$  untuk mengeliminasi kesalahan (*error*) keadaan tunak dari sistem lingkar tertutup atau agar sensitivitas sistem terhadap gangguan sekecil mungkin, dapat dinyatakan dalam bentuk,

$$W_1(s) = \frac{K_1(s + a_1)}{s + b_1} \quad (4.1)$$

Fungsi bobot untuk  $W_3(s)$  dinyatakan dalam bentuk,

$$W_3(s) = \frac{K_3(s + a_3)}{s + b_3} \quad (4.2)$$

##### 4.3 Prosedur Simulasi Perancangan Kontroller

Prosedur perancangan kontroller sebagai berikut.

- (1) Masukkan nilai matriks nominal objek kendali  $A_0$ ,  $B_0$ ,  $C_0$  dan  $D_0$
- (2) Memeriksa apakah sistem nominal terkendali dan teramat apabila tidak maka simulasi tidak bisa dilanjutkan
- (3) Memilih matrik bobot  $W_1(s)$  dan  $W_3(s)$ . Hal ini berhubungan respon frekuensi sistem nominal, batasan perancangan dalam bentuk batas stabilitas, sinyal kendali dan lebar pita sistem lingkar tertutup

- (4) Pembentukan matrik fungsi alih objek kendali yang diperluas (augmented) yang terdiri atas objek kendali  $G(s)$  dan pembatas perancangan yang diekspresikan dalam bentuk matriks bobot  $W_1(s)$  dan  $W_3(s)$
- (5) Tentukan kontroller  $K(s)$  sehingga matrik fungsi alih sistem lingkar tertutup  $T_{y1u1}$  adalah stabil dan norm fungsi alih tersebut diminimasi. Prosesnya memerlukan penyelesaian persamaan dua Riccati dengan pendekatan secara iterasi
- (6) Jika untuk  $P(s)$  yang tertentu, tidak ada solusi untuk masalah kendali  $H_\infty$ , maka pembatasan perancangan didefinisikan kembali dan proses 3 sampai 6 diulangi kembali
- (7) Kinerja dari kontroller yang dirancang harus diuji dalam berbagai kondisi baik dalam kawasan frekuensi maupun dalam kawasan waktu, kalau perlu bentuk akhir pembobotan diatur kembali untuk respon waktu sistem dan perancangan dimulai dari 1

## 5. HASIL SIMULASI

Pada bagian ini dilakukan simulasi perancangan kontroller tegangan generator menggunakan metoda  $H_\infty$  dengan pendekatan mixed-sensitivity. Serta dilakukan analisis hasil perancangan dengan tujuan untuk melihat apakah kontroller yang dirancang dapat memenuhi spesifikasi yang diinginkan baik dalam kawasan frekuensi maupun kawasan waktu dan bagaimana kinerja yang dihasilkan apakah lebih baik atau tidak.

### 5.1 Perubahan Frekuensi Generator

Pada bagian ini disimulasikan perubahan frekuensi generator jika terjadi perubahan beban dan perubahan fungsi bobot

### 5.2 Perubahan Tegangan Generator Terhadap Variasi Beban Dan Fungsi Bobot Kondisi 1

Fungsi Bobot  $W_1$

$$W_{11}(s) = \frac{5.00e-05(0.008s + 0.048)}{(0.002s + 0.00025)} \quad (5.1)$$

$$W_{12}(s) = \frac{2.50e-05(6e - 08s + 0.002)}{(3.125e-07s + 6.25e-05)} \quad (5.2)$$

$$W_{13}(s) = \frac{5.00e-06(0.004s + 0.008)}{(0.256s + 0.00025)} \quad (5.3)$$

$$W_{14}(s) = \frac{4.25e-04(6.25e-05s + 0.256)}{(0.06s + 0.004)} \quad (5.4)$$

$$W_{15}(s) = \frac{4.75e-04(0.00025s + 0.256)}{(0.016s + 0.00025)} \quad (5.5)$$

Fungsi Bobot  $W_3$

$$W_{31}(s) = \frac{2.50e-05(0.004s + 0.015)}{(0.00025s + 0.0015)} \quad (5.6)$$

$$W_{32}(s) = \frac{4.50e-04(0.05s + 0.00125)}{(0.002s + 0.002)} \quad (5.7)$$

$$W_{33}(s) = \frac{2.25e-04(0.128s + 0.0007)}{(0.004s + 0.000125)} \quad (5.8)$$

$$W_{34}(s) = \frac{2.25e-04(0.512s + 0.15)}{(0.032s + 0.072)} \quad (5.9)$$

$$W_{35}(s) = \frac{7.5e-05(0.002s + 0.0001)}{(0.0015s + 0.00125)} \quad (5.10)$$

### 5.2.1 Kawasan Frekuensi

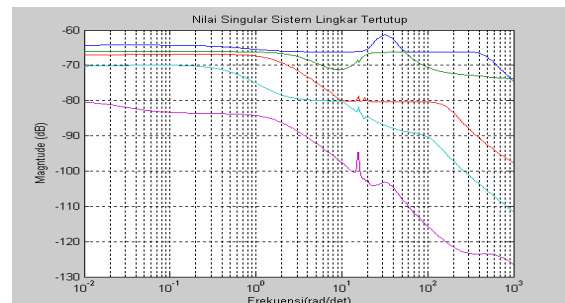
**Tabel-5.1** Nilai  $\gamma_{\text{opt}}$  dan Lebar Pita (Bandwidth)

Untuk Variasi Beban dan Fungsi Bobot  
Kondisi 1 Pada Perubahan Tegangan Generator

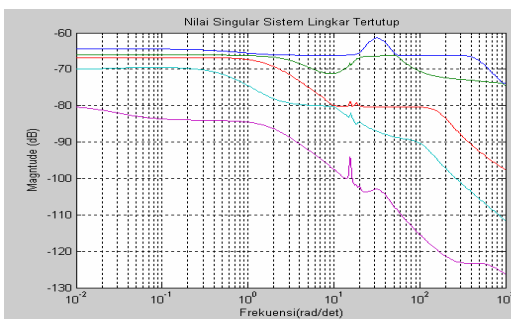
| BEBAN               | NILAI<br>$\gamma_{\text{opt}}$ | LEBAR PITA<br>(BANDWIDTH) |
|---------------------|--------------------------------|---------------------------|
| 0.975 x Beban Dasar | 0.0080                         | MS                        |
| 0.995 x Beban Dasar | 0.0080                         | MS                        |
| 1.005 x Beban Dasar | 0.0080                         | MS                        |
| 1.010 x Beban Dasar | 0.0080                         | MS                        |
| 1.015x Beban Dasar  | 0.0080                         | MS                        |
| 1.050 x Beban Dasar | 0.0080                         | MS                        |
| 1.100 x Beban Dasar | 0.0080                         | MS                        |

Hasil simulasi dalam kawasan frekuensi untuk variasi beban dan fungsi bobot kondisi 1 memiliki nilai  $\gamma_{\text{opt}} = 0.0080$ . Hasil simulasi menunjukkan bahwa fungsi bobot kondisi 1 dan variasi beban terhadap sistem nominal dengan Kontroller  $H_\infty$  mampu mempertahankan kinerja sistem. Pernyataan di atas dapat dibuktikan dengan melihat Tabel-5.1 diatas.

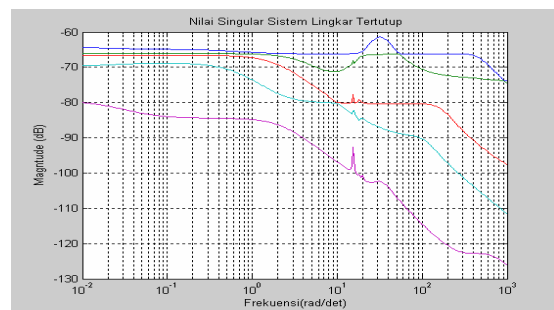
Plot nilai singular sistem lingkar tertutup untuk fungsi bobot kondisi 1 dan variasi beban dapat dilihat pada gambar berikut :



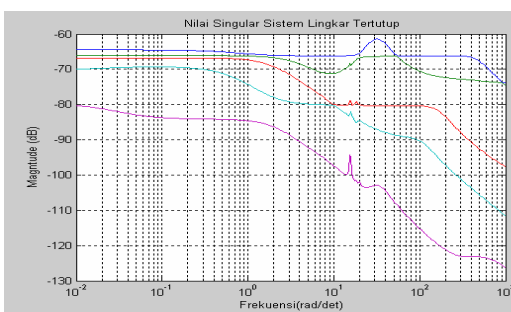
**Gambar-5.1** Plot Nilai Singular Sistem Lingkar Tertutup Untuk Beban 0.975 Kali Beban Dasar dan Fungsi Bobot Kondisi 1 Pada Perubahan Tegangan Generator



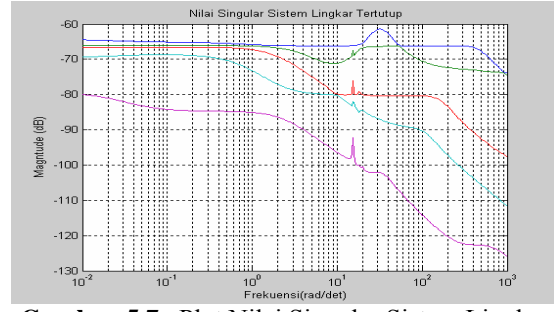
**Gambar-5.2** Plot Nilai Singular Sistem Lingkar Tertutup Untuk Beban 0.995 Kali Beban Dasar dan Fungsi Bobot Kondisi 1 Pada Perubahan Tegangan Generator



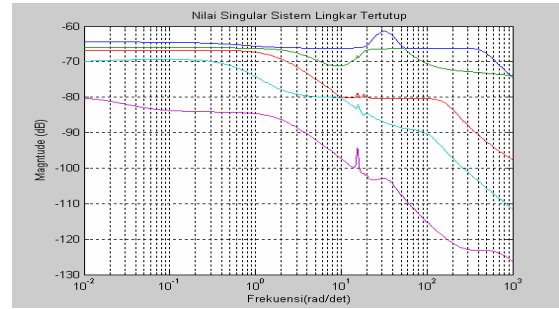
**Gambar-5.6** Plot Nilai Singular Sistem Lingkar Tertutup Untuk Beban 1.05 Kali Beban Dasar dan Fungsi Bobot Kondisi 1 Pada Perubahan Tegangan Generator



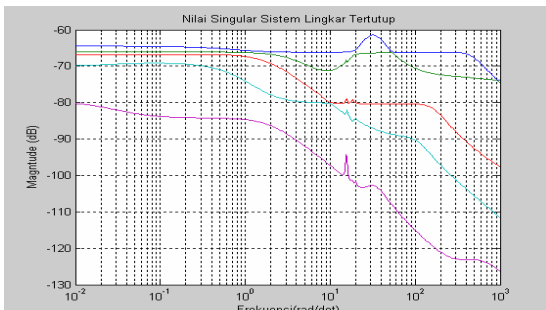
**Gambar-5.3** Plot Nilai Singular Sistem Lingkar Tertutup Untuk Beban 1.005 Kali Beban Dasar dan Fungsi Bobot Kondisi 1 Pada Perubahan Tegangan Generator



**Gambar-5.7** Plot Nilai Singular Sistem Lingkar Tertutup Untuk Beban 1.10 Kali Beban Dasar dan Fungsi Bobot Kondisi 1 Pada Perubahan Tegangan Generator



**Gambar-5.4** Plot Nilai Singular Sistem Lingkar Tertutup Untuk Beban 1.010 Kali Beban Dasar dan Fungsi Bobot Kondisi 1 Pada Perubahan Tegangan Generator



**Gambar-5.5** Plot Nilai Singular Sistem Lingkar Tertutup Untuk Beban 1.015 Kali Beban Dasar dan Fungsi Bobot Kondisi 1 Pada Perubahan Tegangan Generator

Pada Gambar-5.1 s/d Gambar-5.7 terlihat nilai singular yang kecil di daerah frekuensi rendah menyatakan bahwa sistem memiliki sensitivitas rendah terhadap gangguan yang masuk ke sistem. Respon frekuensi seperti ini, memungkinkan sistem lingkar tertutup untuk perubahan tegangan generator menjelak sinyal referensi, berarti memperbaiki ketelitian keadaan tunak dan meredam gangguan frekuensi sistem rendah dengan baik. Sementara itu nilai singular yang rendah di daerah frekuensi tinggi menyatakan bahwa penguatan sistem di daerah ini rendah sehingga gangguan dari derau pengukuran di daerah frekuensi tinggi diredam dengan baik

### 5.2.2 Kawasan Waktu

**Tabel-5.2** Hasil Simulasi Respon Sistem Lingkar Tertutup Untuk Variasi Beban dan Fungsi Bobot Kondisi 1 Pada Perubahan Tegangan Generator

| BEBAN      | G1 | G2  | G3  | G4  | G5 |
|------------|----|-----|-----|-----|----|
| 0.975 x BD | MS | TMS | TMS | TMS | MS |
| 0.995 x BD | MS | TMS | TMS | TMS | MS |
| 1.005 x BD | MS | TMS | TMS | TMS | MS |
| 1.010 x BD | MS | TMS | TMS | TMS | MS |
| 1.015 x BD | MS | TMS | TMS | TMS | MS |
| 1.050 x BD | MS | TMS | TMS | TMS | MS |
| 1.100 x BD | MS | TMS | TMS | TMS | MS |

Ket :

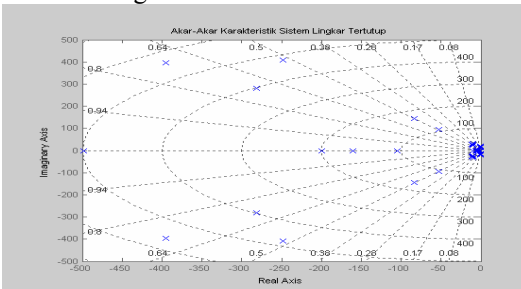
MS : Memenuhi Spesifikasi

TMS : Tidak Memenuhi Spesifikasi

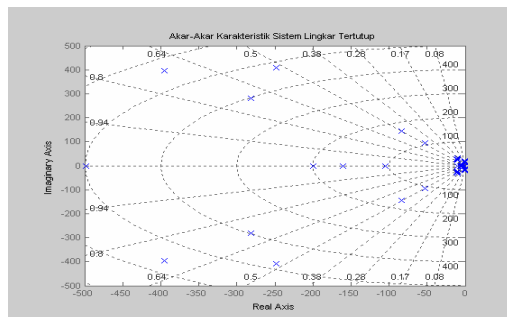
G1 s/d G5 : Generator 1 s/d Generator 5

BD : Beban Dasar

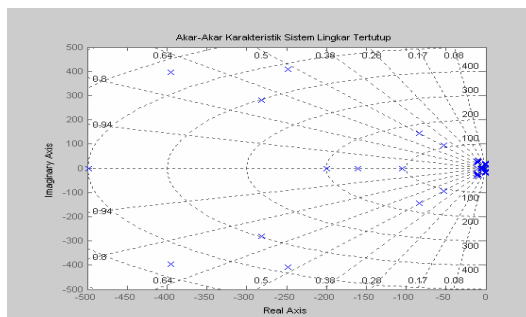
Berikut ini akan diperlihatkan akar-akar karakteristik sistem lingkar tertutup untuk variasi beban dan fungsi bobot kondisi 1.



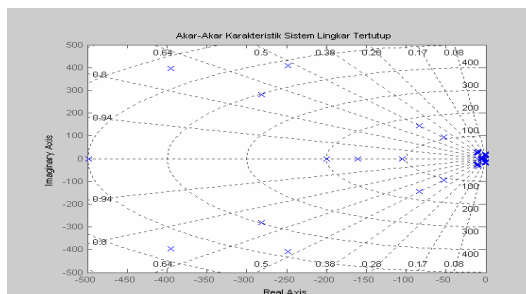
Gambar-5.8 Letak Akar-Akar Karakteristik Sistem Lingkar Tertutup Untuk Beban 0.975 Kali Beban Dasar dan Fungsi Bobot Kondisi 1 Pada Perubahan Tegangan Generator



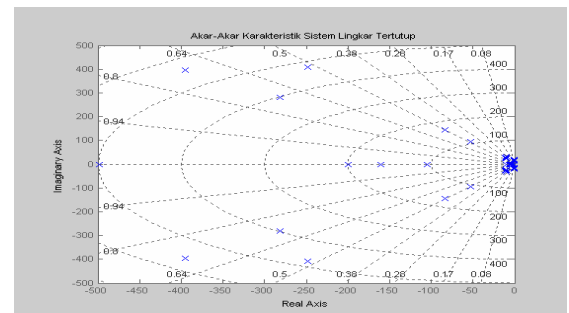
Gambar-5.9 Letak Akar-Akar Karakteristik Sistem Lingkar Tertutup Untuk Beban 0.995 Kali Beban Dasar dan Fungsi Bobot Kondisi 1 Pada Perubahan Tegangan Generator



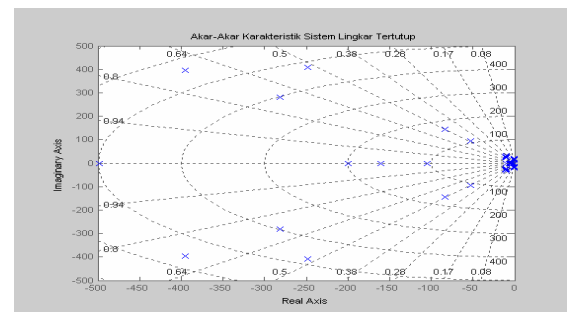
Gambar-5.10 Letak Akar-Akar Karakteristik Sistem Lingkar Tertutup Untuk Beban 1.005 Kali Beban Dasar dan Fungsi Bobot Kondisi 1 Pada Perubahan Tegangan Generator



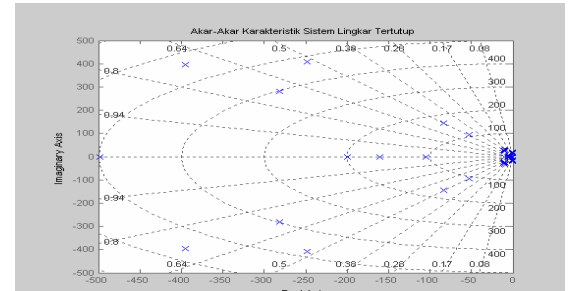
Gambar-5.11 Letak Akar-Akar Karakteristik Sistem Lingkar Tertutup Untuk Beban 1.010 Kali Beban Dasar dan Fungsi Bobot Kondisi 1 Pada Perubahan Tegangan Generator



Gambar-5.12 Letak Akar-Akar Karakteristik Sistem Lingkar Tertutup Untuk Beban 1.015 Kali Beban Dasar dan Fungsi Bobot Kondisi 1 Pada Perubahan Tegangan Generator



Gambar-5.13 Letak Akar-Akar Karakteristik Sistem Lingkar Tertutup Untuk Beban 1.05 Kali Beban Dasar dan Fungsi Bobot Kondisi 1 Pada Perubahan Tegangan Generator



Gambar-5.14 Letak Akar-Akar Karakteristik Sistem Lingkar Tertutup Untuk Beban 1.10 Kali Beban Dasar dan Fungsi Bobot Kondisi 1 Pada Perubahan Tegangan Generator

Akar-akar karakteristik sistem lingkar tertutup untuk variasi beban dan fungsi bobot kondisi 1 semuanya disebelah kiri sumbu khayal. Hal ini dapat dilihat pada Gambar-5.8 s/d Gambar-5.14, sehingga dapat disimpulkan bahwa kestabilan nominal sistem lingkar tertutup untuk variasi beban dan fungsi bobot kondisi 1 pada perubahan tegangan generator bersifat stabil.

Akar-akar karakteristik sistem lingkar tertutup untuk variasi beban dan fungsi bobot kondisi 1 semuanya disebelah kiri sumbu khayal. Hal ini dapat dilihat pada Gambar-5.8 s/d Gambar-5.14 sehingga dapat di simpulkan bahwa kestabilan nominal sistem lingkar tertutup untuk variasi beban dan fungsi bobot kondisi 1 pada perubahan frekuensi generator bersifat stabil. Simulasi ini

dilakukan untuk 7 kondisi yang berbeda-beda didapatkan hasil sebagai berikut :

### 5.3 Hasil Simulasi Perubahan Frekuensi Generator Terhadap Variasi Beban dan Fungsi Bobot

Simulasi dilakukan untuk 7 kondisi yang berbeda-beda dengan hasil simulasi untuk kawasan frekuensi dan kawasan waktu untuk diperoleh hasil sebagai berikut

**Tabel -5.3** Hasil Simulasi Kawasan Frekuensi Untuk Variasi Beban dan Fungsi Bobot Pada Perubahan Tegangan Generator

| BEBAN      | K1 | K2 | K3 | K4 | K5 | K6 | K7  |
|------------|----|----|----|----|----|----|-----|
| 0.975 x BD | MS | MS | MS | MS | MS | MS | TMS |
| 0.995 x BD | MS | MS | MS | MS | MS | MS | TMS |
| 1.005 x BD | MS | MS | MS | MS | MS | MS | TMS |
| 1.010 x BD | MS | MS | MS | MS | MS | MS | TMS |
| 1.015 x BD | MS | MS | MS | MS | MS | MS | TMS |
| 1.050 x BD | MS | MS | MS | MS | MS | MS | TMS |
| 1.100 x BD | MS | MS | MS | MS | MS | MS | TMS |

Tabel -5.4 Hasil Simulasi Kawasan Waktu Untuk Variasi Beban dan Fungsi Bobot Pada Perubahan Tegangan Generator

| BEBAN      | K<br>1      | K<br>2      | K<br>3      | K<br>4      | K<br>5      | K<br>6      | K<br>7      |
|------------|-------------|-------------|-------------|-------------|-------------|-------------|-------------|
| 0.975 x BD | T<br>M<br>S |
| 0.995 x BD | T<br>M<br>S | M<br>S      | M<br>S      | M<br>S      | M<br>S      | M<br>S      | M<br>S      |
| 1.005 x BD | T<br>M<br>S | M<br>S      | M<br>S      | M<br>S      | M<br>S      | M<br>S      | T<br>M<br>S |
| 1.010 x BD | T<br>M<br>S | M<br>S      | M<br>S      | M<br>S      | M<br>S      | M<br>S      | T<br>M<br>S |
| 1.015 x BD | T<br>M<br>S | M<br>S      | M<br>S      | M<br>S      | M<br>S      | M<br>S      | T<br>M<br>S |
| 1.050 x BD | T<br>M<br>S | M<br>S      | M<br>S      | M<br>S      | M<br>S      | M<br>S      | T<br>M<br>S |
| 1.100 x BD | T<br>M<br>S |

Ket :

- MS : Memenuhi Spesifikasi
- TMS : Tidak Memenuhi Spesifikasi
- K1 s/d K7 : Fungsi Bobot Kondisi 1 s/d 7
- BD : Beban Dasar

Dari hasil simulasi dalam Tabel-5.3 dan Tabel-5.4 untuk beberapa kondisi fungsi bobot dan variasi beban pada perubahan tegangan terlihat bahwa fungsi bobot yang memenuhi spesifikasi yang diinginkan adalah fungsi bobot kondisi 2 sampai dengan fungsi bobot kondisi 6 dengan variasi beban antara 0.995 kali beban dasar sampai dengan 1.050 kali beban dasar, sedangkan untuk fungsi bobot kondisi 1 dan 7 ada beberapa variasi

beban yang tidak memenuhi spesifikasi yang diinginkan

### 6. KESIMPULAN

Dalam sistem tenaga listrik, model sistem bersifat nonlinier. Untuk menganalisa pola tingkah laku sistem tenaga listrik disekitar titik operasi, salah satu model sistem adalah dengan dilinierisasi dititik operasi. Dari model sistem yang dilinierisasi tersebut diperoleh persamaan keadaan untuk sistem tenaga listrik IEEE 14 Bus 5 mesin, dan dapat digunakan metoda  $H_{\infty}$  dengan pendekatan mixed sensitivity, serta diupayakan suatu simulasi dengan variasi fungsi bobot dan beban. Dari hasil simulasi diperoleh hasil tabel berikut

**Tabel 6.1** Hasil Simulasi Perubahan Tegangan Generator Dengan Variasi Beban dan Fungsi Bobot

| BEBAN      | K<br>1 | K<br>2 | K<br>3 | K<br>4 | K<br>5 | K<br>6 | K<br>7      |
|------------|--------|--------|--------|--------|--------|--------|-------------|
| 0.975 x BD | M<br>S | M<br>S | M<br>S | M<br>S | M<br>S | M<br>S | T<br>M<br>S |
| 0.995 x BD | M<br>S | M<br>S | M<br>S | M<br>S | M<br>S | M<br>S | T<br>M<br>S |
| 1.005 x BD | M<br>S | M<br>S | M<br>S | M<br>S | M<br>S | M<br>S | T<br>M<br>S |
| 1.010 x BD | M<br>S | M<br>S | M<br>S | M<br>S | M<br>S | M<br>S | T<br>M<br>S |
| 1.015 x BD | M<br>S | M<br>S | M<br>S | M<br>S | M<br>S | M<br>S | T<br>M<br>S |
| 1.050 x BD | M<br>S | M<br>S | M<br>S | M<br>S | M<br>S | M<br>S | T<br>M<br>S |
| 1.100 x BD | M<br>S | M<br>S | M<br>S | M<br>S | M<br>S | M<br>S | T<br>M<br>S |

Ket :

- MS : Memenuhi Spesifikasi
- TMS : Tidak Memenuhi Spesifikasi
- K1 s/d K7 : Fungsi Bobot Kondisi 1 s/d 7
- BD : Beban Dasar

Dari hasil simulasi dalam Tabel 6.1 didapatkan daerah stabil untuk bahan design kontroller  $H_{\infty}$  yang mengendalikan perubahan tegangan generator yaitu fungsi bobot kondisi 2 sampai dengan fungsi bobot kondisi 6 dengan variasi beban antara 0.995 kali beban dasar sampai dengan 1.050 kali beban dasar.

**DAFTAR PUSTAKA**

1. Anderson, P.M. dan A.A Fouad, “ **Power System Control and Stability** ”, Iowa State University Press, 1977.
2. Kundur, Prabha, “ **Power System Stability and Control** ”, Mc. Graw Hill. Inc., New York, 1994
3. Saadat, Hadi, “ **Power System Analysis** ”, Mc. Graw Hill. Inc, New York, 1999
4. Rogers, Graham, “ **Power System Oscilations** ”, Kluwer Academic Publisher, 2000
5. Padiyar, K.R. “ **Power System Dinamics Stability and Control** ”, Indian Institute of Science, Bangalore, Jhon Wiley & Sons (Asia) Pte.Ltd, 1996
6. Maciejowski J.M, “ **Multivariable Feedback Design** ”, Addison-Wesley Publishing Company. Inc, 1999
7. Chiang R.Y., Safonov, M.G, “ **Robust Control Toolbox User's Guide** ”, Mathworks 1992
8. Shahian, B., Hassul, M., “ **Control System Design Using Matlab** ”, Prentice Hall, Englewood Cliffs, New Jersey, 1993
9. Skogestad, S., Postlethwaite, I., “ **Multivariable Feedback Control Analysis And Design** ”, John Wiley & Sons, New York, January 2000
10. Doyle, J. C., Francis, A.B., Tannebaum, A.R , “ **Feedback Control Theory** ”, Macmillan Publishing Company, New York, 1992
11. Isnuwardianto, “ **Introduction to Power System Dynamics** ”, Seminar and Workshop on Power System Dynamics and Control, Institute Teknologi Bandung, 1995
12. Zhou, Kemin and Doyle, J.C, “ **Essentials of Robust Control** ”,Prentice-Hall International Inc, New Jersey, 1998.
13. Glauco, N.T, Joe, H.C, “ **Robust Redesign Of Power System Damping Controller** ” IEEE Transaction on Control System Technology, Vol 3, September, 1995
14. IEEE Committee Report, “ **Excitation System Model For Power System Stability Studies** ” IEEE Transaction on Power Apparatus and System, Vol PAS-100, February, 1981.
15. Zhao, Q., Jiang J., “ **Robust Controller Design For Generator Excitation** ”, IEEE Transaction on energi Conversion, Vol 10, June, 1995
16. Yao Nan Yu & Hamdy AM. Mousa, “ **Dynamics Interaction of Multi Machine Power System dan Excitation Control** ”, IEEE Transaction Vol PAS-93, July 1974

**BIODATA**

**Heru Dibyo Laksono ST, MT**, Lahir di Sawah Lunto, 7 Januari 1977, Menamatkan S1 di Jurusan Teknik Elektro Universitas Andalas (Unand) Padang tahun 2000 bidang Teknik Tenaga Listrik. Pendidikan S2 bidang Teknik Kendali dan Sistem diselesaikan di Institute Teknologi Bandung (ITB) tahun 2004. Masuk sebagai dosen Teknik Elektro Universitas Andalas sejak tahun 2005.

**Fitrilina ST**, Lahir di Padang, 25 Agustus 1981, Menamatkan S1 di Jurusan Teknik Elektro Universitas Andalas (Unand) Padang tahun 2005 bidang Teknik Telekomunikasi.. Masuk sebagai dosen Teknik Elektro Universitas Andalas sejak tahun 2006.